

JAERI-M

5 4 8 5

エチレン放射線重開発試験装置PICWの  
中心線源型濡壁反応器内における線量率分布

1973年12月

中島隼人, 八木敏明, 丸山真策, 児玉厚郎,<sup>\*</sup> 東平正道<sup>\*\*</sup>  
星 龍夫, 田中隆一, 武久正昭, 町 末男

日本原子力研究所  
Japan Atomic Energy Research Institute

この報告書は、日本原子力研究所が JAERI-M レポートとして、不定期に刊行している研究報告書です。入手、複製などのお問合せは、日本原子力研究所技術情報部（茨城県那珂郡東海村）あて、お申しこしください。

JAERI-M reports, issued irregularly, describe the results of research works carried out in JAERI. Inquiries about the availability of reports and their reproduction should be addressed to Division of Technical Information, Japan Atomic Energy Research Institute, Tokai-mura, Naka-gun, Ibaraki-ken, Japan.

エチレン放射線重合開発試験装置 P I C W の  
中心線源型濡壁反応器内における線量率分布

日本原子力研究所高崎研究所開発試験場

中島 隼人・八木 敏明・丸山 真策

児玉 厚郎・東平 正道・星 龍夫\*

田中 隆一・武久 正昭・町 末男

(1973年11月27日受理)

高崎研究所のエチレン放射線重合開発試験装置 P I C W に用いられている内容積 50 ℥ の中心線源型濡壁反応器内部の吸収線量率とその分布を水または第3ブタノール水溶液の存在下でポリメタクリル酸メチル線量計によって測定した。また、その結果を理論的に計算した線量率分布と比較した。

反応器は内径 300 mm, 高さ 700 mm の円筒形で、中心部に直径 96 mm の内筒がもうけられており、棒状線源が挿入されている。源源としては、3840, 7680 および 11760 Ci の 3 種の大きさの  $^{60}\text{Co}$  が用いられた。

その結果次のことが明らかになった。

- (1) 半径方向の線量率は指數関数的に減少し、外筒側壁面での線量率は内筒側壁面での値の  $1/3$  である。
- (2) 軸方向の線量率は、中央部が最も高く両端に近づく程低下する。また分布は内筒壁に近いほどフラットである。
- (3) ブタノール水溶液存在下での反応器内の平均線量率は、上記の線源の大きさに応じて  $0.5 \times 10^5$ ,  $1.1 \times 10^5$ ,  $1.9 \times 10^5$  rad/hr であった。また、擗取羽根を入れた場合は 10% 減少する。
- (4) エネルギー吸収効率は約 3% で、反応器の外側に板状線源を配置した場合の 10 倍以上である。
- (5) 理論的に計算された線量率は実測値よりも若干大きい。しかし、理論と実測との線量率分布曲線の形はほぼ一致している。

\* 旭ダウ株式会社 \*\* 出光石油株式会社

Dose Rate Distribution in The Central-Source Type Wet-Wall Reactor  
of Radiation Ethylene Polymerization Pilot Plant-PICW

Hayato NAKAJIMA, Toshiaki YAGI, Shinsaku MARUYAMA, Atsuro KODAMA,  
Masamichi TOHEI, Tatsuo HOSHI, Ryuichi TANAKA, Masaaki TAKEHISA  
and Sueo MACHI

Division of Pilot Scale Research Station, Takasaki, JAERI

(Received November 27, 1973)

The dose rate and its distribution were measured in the 50-liter, central-source type wet-wall reactor of radiation ethylene polymerization pilot plant-PICW in the presence of air, water and aqueous solution of tert-butyl alcohol, and the values were compared with those by calculation.

The polymerization reactor, 300 mm in diameter and 700 mm high, has an inner cylindrical casing of outside diameter 96 mm in which a cylindrical source is inserted. Three different  $^{60}\text{Co}$  gamma-sources, 3,840, 7,680 and 11,760 Ci respectively, were used as the sources.

(1) The dose rate decreases exponentially in radial directions; the value at the outer surface is 1/3 that at the inner surface of the reactor. (2) The dose rate along the axis is highest in the middle, and decreases toward the ends. The closer to the source the flatter then becomes the distribution. (3) The mean absorbed dose rates in the presence of tert-butyl alcohol aqueous solution are  $0.5 \times 10^5$ ,  $1.1 \times 10^5$  and  $1.9 \times 10^5$  rad/hr for the three sources mentioned, respectively. With the existence of a scraper, the dose rate is reduced by 10 %. (4) The utilization efficiency of radiation energy is ca. 3 %. (5) The calculated dose rate is a little larger than that measured, but the dose rate distribution calculated is similar to that measured.

## 目 次

1. 緒言 .....	1
2. 実験方法 .....	1
2.1 線量計 .....	1
2.2 反応器、線源および線量計の位置関係 .....	1
2.3 測定条件 .....	2
2.4 測定手順 .....	2
2.5 吸収線量率の算出 .....	2
2.6 平均吸収線量率の算出 .....	2
3. 吸収線量率分布の理論計算 .....	3
3.1 線量計算式 .....	3
3.2 計算に必要な諸係数 .....	4
3.3 線量計算と結果 .....	5
4. 結果と考察 .....	5
4.1 各媒体における吸収線量率分布 .....	5
4.2 線源量と吸収線量率分布 .....	5
4.3 平均吸収線量率 .....	5
4.4 中心線源型反応器の特徴 .....	6
4.5 PMMAによる線量測定上の問題点 .....	6
5. 結論 .....	7

## 1. 緒 言

放射線化学反応初期過程の速さは、その物質が単位時間に吸収するエネルギー（吸収線量率）に比例する。したがって、2次過程を含めた全反応の速さも線量率に依存する。重合反応においては、開始反応（ラジカルまたはイオンの生成反応）の速度が線量率に依存し、その結果全重合速度および生成ポリマーの分子量も線量率に依存して変化する。したがって同一反応器内で線量率に分布のある場合は、重合速度および生成ポリマーの分子量に分布が生ずる。

反応器が小型でγ線を用いる場合には、線量率分布はほとんどなく分布の考慮を必要としないが、エチレンの放射線重合の開発試験装置 PICWで用いられている反応器は、内容積が50 mlとかなり大きいので線量率分布が生ずることが当然予測される。そこで本報告では線源のCi数、反応器内の媒体の異なる種々の条件で反応器内の吸収線量率の分布を PMMA 線量計で測定するとともにそれに基づいて平均吸収線量率を算出した。さらに理論的に予測される線量率分布を計算で求め、実測値と比較した。

本研究は第2開発室と照射施設課の協力によって実施された。線量測定は主として丸山、児玉、東平が、理論計算は星が、線量計の検討は田中が、データの検討および報告のまとめは中島、八木、武久、町がそれぞれ行なった。

## 2. 実験方法

### 2.1 線量計

PMMA（ポリアクリル酸メチル）に放射線を照射すると、近紫外部において吸光度に変化が生じ、これが吸収線量と比例関係にあることは、田中らによって詳細に報告されている。<sup>1)</sup> 本実験に用いた PMMA は、三菱レイヨン製品アクリライトを  $45 \times 12 \times 1$  mm の寸法にして使用した。吸光度は日立 139 型分光光度計で測定した。

### 2.2 反応器、線源および線量計の位置関係

反応器の詳細な構造を図 1 に示した。この反応器は、その中心部分にコバルト 60 - γ 線源を挿入するための内筒を有し、内筒および外筒の反応器内部壁面へ付着したポリマーを取除くための搔取羽根を備えている。

線源は外径 12 mm、長さ 300 mm の棒状線源である。図 2 に線源ケースを示したが、上段と下段にそれぞれ最大 6 本の線源を組入れることができる。

反応器と線源および線量計の位置関係を図 3 に示した。

## 1. 緒 言

放射線化学反応初期過程の速さは、その物質が単位時間に吸収するエネルギー（吸収線量率）に比例する。したがって、2次過程を含めた全反応の速さも線量率に依存する。重合反応においては、開始反応（ラジカルまたはイオンの生成反応）の速度が線量率に依存し、その結果全重合速度および生成ポリマーの分子量も線量率に依存して変化する。したがって同一反応器内で線量率に分布のある場合は、重合速度および生成ポリマーの分子量に分布が生ずる。

反応器が小型で $\gamma$ 線を用いる場合には、線量率分布はほとんどなく分布の考慮を必要としないが、エチレンの放射線重合の開発試験装置 PICW で用いられている反応器は、内容積が 50 l とかなり大きいので線量率分布が生ずることが当然予測される。そこで本報告では線源の Ci 数、反応器内の媒体の異なる種々の条件で反応器内の吸収線量率の分布を PMMA 線量計で測定するとともにそれに基づいて平均吸収線量率を算出した。さらに理論的に予測される線量率分布を計算で求め、実測値と比較した。

本研究は第 2 開発室と照射施設課の協力によって実施された。線量測定は主として丸山、児玉、東平が、理論計算は星が、線量計の検討は田中が、データの検討および報告のまとめは中島、八木、武久、町がそれぞれ行なった。

## 2. 実験方法

### 2.1 線量計

PMMA（ポリアクリル酸メチル）に放射線を照射すると、近紫外部において吸光度に変化が生じ、これが吸収線量と比例関係にあることは、田中らによって詳細に報告されている。<sup>1)</sup> 本実験に用いた PMMA は、三菱レイヨン製品アクリライトを  $4.5 \times 1.2 \times 1$  mm の寸法にして使用した。吸光度は日立 139 型分光光度計で測定した。

### 2.2 反応器、線源および線量計の位置関係

反応器の詳細な構造を図 1 に示した。この反応器は、その中心部分にコバルト 60 -  $\gamma$  線源を挿入するための内筒を有し、内筒および外筒の反応器内部壁面へ付着したポリマーを取除くための搔取羽根を備えている。

線源は外径 12 mm、長さ 300 mm の棒状線源である。図 2 に線源ケースを示したが、上段と下段にそれぞれ最大 6 本の線源を組入れることができる。

反応器と線源および線量計の位置関係を図 3 に示した。

### 2.3 測定条件

反応器内の媒体は、比重（電子密度）の異なる水、第3ブタノール水溶液、空気の3種類を選び、実際の重合反応系（第3ブタノール-水-エチレン）における線量率分布の推測ができるようにした。また、線源の量は4本、8本、12本とし、4本と8本は第3ブタノール水溶液についてのみ測定を行った。線源のキュリー数は、測定した時期の違いから、12本での測定条件のときは1本当り約980Ci、4本および8本の場合は約960Ciであると考えられる。

PMMAの照射時間は、線源の少ない場合ほど長くとり、4本のときは4時間、8本では3時間、12本が2時間とした。

攝取羽根の影響は第3ブタノール水溶液中、線源本数8本の条件で調べた。

### 2.4 測定手順

- 1) PMMAを蒸留水にて洗浄し、その後アルコールを浸したガーゼで充分に、塵、汚れ等を拭きとる。
- 2) 290 m $\mu$ の波長における未照射PMMAの吸光度を測定する。
- 3) PMMAを反応器内部の内筒壁面、外筒壁面および内筒と外筒の間に適当な間隔で固定する。固定位置の概略は図3に示した。なお、媒体が空気以外の条件ではPMMAをポリエチレンの袋に入れ、シールしたものを固定する。
- 4) 所定の時間照射したPMMAは、反応器から取り出し、光から遮断して一昼夜保存した後、吸光度を測定する。

### 2.5 吸収線量率の算出

PMMAの吸収線量と吸光度の変化量とが、比例関係にあることは前に述べた。この関係はあらゆる線量率において成立する。波長290 m $\mu$ における吸光度の変化量と吸収線量との関係を図4に示した。<sup>1)</sup> 図4から直線の傾きは0.291切片は0.05という値が得られる。ここで注意を必要とするのは、図4は照射後ただちに測定した値を用いて得られたものであり、一昼夜保存した後には約15%の増加が見られることである。

したがって、吸収線量率を求める式は次のように表すことができる。

$$I = \left( \frac{\Delta D}{0.291 \times 1.15} + 0.05 \right) \times \frac{1}{H} \quad (1)$$

ここで I : 吸収線量率 (Mrad/hr)

$\Delta D$  : 吸光度の変化量

H : 照射時間 (hr) である。

### 2.6 平均吸収線量率の算出

いま、反応器内の任意の微小部分における吸収線量率を  $I_i$ 、その体積を  $V_i$  とし、反応器内容積を  $V_r$  とすれば、ある条件下での平均吸収線量率  $I_{av}$  は

$$I_{av} = \frac{\sum I_i \times V_i}{V_r} \quad (2)$$

で定義することができる。実際の計算では、同一円周上に吸収線量率の分布は無いものとみなして、次のような操作を行った。

図5に示したZ軸方向の反応器断面を考え、全体を矩形で細かく区分する。この矩形を円周方向に積分して得られるパイナップル・リング状の素片の体積と、反応器内容積の比  $V_i/V_r$  を求める。各素片の中心における吸収線量率は、線量率分布のグラフより読み取り、この値に  $V_i/V_r$  を乗じて総計する。以上で、(2)式に定義された平均吸収線量率を求めることができる。

### 3. 吸収線量率分布の理論計算

#### 3.1 線量計算式

軸長300mm、半径5mmの棒状線源を2本つないだ軸長600mmの棒状線源を半径16mmの籠形に構成した線源束を使用しているが、測定点と線源束の中心との間の距離（約70mm以上）に比較して線源束半径（15mm）の値は十分に小さいので近似的に線源束の中心軸上にすべての棒状線源が集ったものとみなすことができる。したがって図6に示すごとく棒状線源の中心から水平距離x・垂直距離yの位置にある媒体中の測定点Pの線量率Rは次式のように表すことができる。

$$R(\text{rad/hr}) = 1.698138 \times 10^6 \cdot E_0 \cdot \mu_e \cdot \sigma_s \cdot \left\{ \frac{\exp(-\frac{r}{x}(t\mu_t \rho_t + (x-R_g)\mu_i \rho_i + R_s \mu_s \rho_s))}{r^2} ds \right\}_{-l_s}^{l_s} \quad (3)$$

$$r^2 = (y-s)^2 + x^2$$

$R_s$  : 棒状線源の半径

$\mu_i$  : 媒体の質量減衰係数 ( $\text{cm}^2/\text{g}$ )

$\mu_t$  : 反応器内筒の質量減衰係数 ( $\text{cm}^2/\text{g}$ )

$\mu_s$  : 線源の質量減衰係数 ( $\text{cm}^2/\text{g}$ )

$\rho_i$  : 媒体の密度 ( $\text{g/cm}^3$ )

$\rho_t$  : 反応器内筒の密度 ( $\text{g/cm}^3$ )

$\rho_s$  : 線源の密度 ( $\text{g/cm}^3$ )

$t$  : 反応器内筒の肉厚 ( $\text{cm}$ )

$R_g$  : 反応器内筒の外壁面と線源中心軸間の距離 ( $\text{cm}$ )

$2l_s$  : 棒状線源の軸長 ( $\text{cm}$ )

$\sigma_s$  : 棒状線源 1cm 当りのキュリーカー数 ( $\text{Ci/cm}$ )

$$I_{av} = \frac{\sum I_i \times V_i}{V_r} \quad (2)$$

で定義することができる。実際の計算では、同一円周上に吸収線量率の分布は無いものとみなして、次のような操作を行った。

図5に示したZ軸方向の反応器断面を考え、全体を矩形で細かく区分する。この矩形を円周方向に積分して得られるバイナップル・リング状の素片の体積と、反応器内容積の比  $V_i/V_r$  を求める。各素片の中心における吸収線量率は、線量率分布のグラフより読み取り、この値に  $V_i/V_r$  を乗じて総計する。以上で、(2)式に定義された平均吸収線量率を求めることができる。

### 3. 吸収線量率分布の理論計算

#### 3.1 線量計算式

軸長300mm、半径5mmの棒状線源を2本つないだ軸長600mmの棒状線源を半径16mmの籠形に構成した線源束を使用しているが、測定点と線源束の中心との間の距離（約70mm以上）に比較して線源束半径（15mm）の値は十分に小さいので近似的に線源束の中心軸上にすべての棒状線源が集ったものとみなすことができる。したがって図6に示すごとく棒状線源の中心から水平距離x、垂直距離yの位置にある媒体中の測定点Pの線量率Rは次式のように表すことができる。

$$R(\text{rad/hr}) = 1.698138 \times 10^6 \cdot R_s \cdot \mu_e \cdot \sigma_s \int_{-l_s}^{l_s} \frac{\exp(-\frac{r}{x}(t\mu_t\rho_t + (x-R_g)\mu_i\rho_i + R_s\mu_s P_s))}{r^2} ds \quad (3)$$

$$r^2 = (y-s)^2 + x^2$$

$R_s$  : 棒状線源の半径

$\mu_i$  : 媒体の質量減衰係数 ( $\text{cm}^2/\text{g}$ )

$\mu_t$  : 反応器内筒の質量減衰係数 ( $\text{cm}^2/\text{g}$ )

$\mu_s$  : 線源の質量減衰係数 ( $\text{cm}^2/\text{g}$ )

$\rho_i$  : 媒体の密度 ( $\text{g/cm}^3$ )

$\rho_t$  : 反応器内筒の密度 ( $\text{g/cm}^3$ )

$\rho_s$  : 線源の密度 ( $\text{g/cm}^3$ )

$t$  : 反応器内筒の肉厚 (cm)

$R_g$  : 反応器内筒の外壁面と線源中心軸間の距離 (cm)

$2l_s$  : 棒状線源の軸長 (cm)

$\sigma_s$  : 棒状線源 1cm当たりのキュリー数 (Ci/cm)

$\mu_e$  : 媒体のエネルギー吸収係数 ( $cm^2/g$ )

$E_0$  : 線源 1崩壊当たりに放出するエネルギー (MeV)

B : 媒体中の測定点 Pにおけるエネルギー吸収ビルドアップ係数

この energy absorption build up factorは反応器内筒による  $\gamma$  線の散乱の効果と媒体が有限の大きさであることを考慮に入れた Broder の多重層の build up factorに従する式によって次式のように表すことができる。<sup>2)</sup>

$$B = \delta_i B_{i1} + \delta_t B_t - \delta_{i2} B_{i2}$$

$\delta_i$  : 媒体が有限の大きさであることによる Kimmel の補正係数

$\delta_t$  : 線源、反応器内筒が有限の大きさであることによる Kimmel の補正係数

$$Y_{i1} = \{ (x - R_0) \mu_i \rho_i + t \mu_t \rho_t + R_s \mu_s \rho_s \} r/x$$

$$B_{i2} = A_i e^{\alpha_{i1}} Y_{i1} + (1 - A_i) e^{\alpha_{i2}} Y_{i1}$$

$$Y_{i2} = (t \mu_t \rho_t + R_s \mu_s \rho_s) r/x$$

$$B_t = A_t e^{\alpha_{t1}} Y_{i2} + (1 - A_t) e^{\alpha_{t2}} Y_{i2}$$

$$B_{i2} = A_i e^{\alpha_{i1}} Y_{i2} + (1 - A_t) e^{\alpha_{i2}} Y_{i2}$$

$A_i, \alpha_{i1}, \alpha_{i2}$  : 媒体が無限大の大きさで、この中に等方点状線源がある場合のエネルギー吸収ビルドアップ係数を指數関数の和で近似した場合の係数

$A_t, \alpha_{t1}, \alpha_{t2}$  : 線源または反応器内筒が無限大の大きさで、この中に等方点状線源がある場合のエネルギー吸収ビルドアップ係数を指數関数の和で近似した場合の係数

### 3.2 計算に必要な諸係数<sup>2)</sup>

#### 1) 媒体に関する諸係数

媒体：空気、水、第3ブタノール水溶液

a) 媒体の密度： $\rho_i = 0.0 g/cm^3$  (空気)

$$\rho_i = 1.0 g/cm^3 \text{ (水)}$$

$$\rho_i = 0.81 g/cm^3 \text{ (第3ブタノール水溶液)}$$

b) 媒体の質量減衰係数： $\mu_i = 0.0634 cm^2/g$  (第3ブタノールの質量減衰係数は水のそれとほぼ等しい。)

c) 媒体のエネルギー吸収係数： $\mu_e = 0.0298 cm^2/g$  (t-BuOH のエネルギー吸収係数は水のそれとほぼ等しい。)

d) 媒体のエネルギー吸収ビルドアップ係数に係る諸係数： $A_i = 1.015, \alpha_{i1} = 0.086,$

$$\alpha_{i2} = -0.051, \delta_i = 0.866$$
 (第3ブタノールの係数と水のそれとほぼ等しい。)

#### 2) 線源に関する諸係数

a) 線源の密度： $\rho_s = 8.7 g/cm^3$

b) 線源の質量減衰係数： $\mu_s = 0.0536 cm^2/g$

c) 線源の軸長： $2 L_s = 60.0 cm$

d) 線源・反応器の内筒のエネルギー吸収ビルドアップ係数に係る諸係数

$$; A_t = 8.05, \alpha_{t1} = 0.0816, \alpha_{t2} = -0.0313, \delta_t = 0.92$$

e. 線源 1 cm 当りのキュリー数 :  $\sigma_e = 33.20 \text{ Ci/cm}$  (昭和 45 年 8 月測定)

### 3) 反応器内筒に関する諸係数

- a. 反応器内筒の材質 : ステンレス・スチール
- b. 反応器内筒の肉厚 :  $t = 2.1 \text{ cm}$
- c. 反応器内筒の密度 :  $7.91 \text{ g/cm}^3$
- d. 反応器内筒の質量減衰係数 :  $\mu_t = 0.0533 \text{ cm}^2/\text{g}$
- e. 反応器内筒の外径 :  $9.6 \text{ cm} (= 2R_G)$

### 3.3 線量計算と結果

これまでの検討結果に基づいて、表 1 に示す計算コードを用いて計算した結果を、図 7 ~ 11 に示した。

## 4. 結果と考察

### 4.1 各媒体における吸収線量率分布

水、第 3 プタノール、空气中で実測した吸収線量率分布を、反応器の Z 軸断面で表わし、図 12 ~ 14 にこれを示した。さらに、 $Z = 400 \text{ mm}$  (線源中心) における半径方向への減衰曲線は図 15 に、計算値と比較して示した。一般に実測値は媒体によらず外筒側で、その減衰はゆるやかになる傾向がある。これは外筒による散乱線の影響も多少あるものと考えられる。また、水と第 3 プタノール水溶液中の減衰曲線を比べると、著しい差は見られない。したがって水 - 第 3 プタノールの混合媒体系の吸収線量率分布は、水あるいは第 3 プタノール水溶液中のどちらの測定値を用いても、実用上はさしつかえないと思われる。

### 4.2 線源量と吸収線量率分布

コバルト 60 棒状線源を 8 本、4 本使用したときの吸収線量率分布を図 16 ~ 17 に示した。この場合、照射は第 3 プタノール媒体中で行った。線源中心における半径方向の減衰を、図 18 に計算値と比較して表わした。おおよそではあるが、吸収線量率は線源量に比例している。1 2 本の場合の実測を除けば、いずれも同様な減衰のし方を見せていく。なお、実測値と計算値とのずれの原因は明かでない。

### 4.3 平均吸収線量率

平均吸収線量率の算出は、同一円周上で吸収線量率に分布の無いことが前提条件となる。実際の測定で、最も分布が生じやすいと思われるのは、線源量の少ない場合である。そこで、線源量 4 本のときの同一円周上の線量率分布を図 19 に示した。線源に一番近い距離にある内筒壁面 ( $r = 48 \text{ mm}$ ) では多少のバラツキが見られる。しかしながら全体として、この程度の分

e. 線源 1 cm 当りのキュリー数:  $\sigma_e = 33.2 \text{ Ci/cm}$  (昭和 45 年 8 月測定)

### 3) 反応器内筒に関する諸係数

- a. 反応器内筒の材質: ステンレス・スチール
- b. 反応器内筒の肉厚:  $t = 2.1 \text{ cm}$
- c. 反応器内筒の密度:  $7.91 \text{ g/cm}^3$
- d. 反応器内筒の質量減衰係数:  $\mu_t = 0.0533 \text{ cm}^2/\text{g}$
- e. 反応器内筒の外径:  $9.6 \text{ cm} (= 2R_g)$

### 3.3 線量計算と結果

これまでの検討結果に基づいて、表 1 に示す計算コードを用いて計算した結果を、図 7 ~ 11 に示した。

## 4. 結果と考察

### 4.1 各媒体における吸収線量率分布

水、第 3 プタノール、空気中で実測した吸収線量率分布を、反応器の Z 軸断面で表わし、図 12 ~ 14 にこれを示した。さらに、 $Z = 400 \text{ mm}$  (線源中心) における半径方向への減衰曲線は図 15 に、計算値と比較して示した。一般に実測値は媒体によらず外筒側で、その減衰はゆるやかになる傾向がある。これは外筒による散乱線の影響も多少あるものと考えられる。また、水と第 3 プタノール水溶液中の減衰曲線を比べると、著しい差は見られない。したがって水 - 第 3 プタノールの混合媒体系の吸収線量率分布は、水あるいは第 3 プタノール水溶液中のどちらの測定値を用いても、実用上はさしつかえないと思われる。

### 4.2 線源量と吸収線量率分布

コバルト 60 棒状線源を 8 本、4 本使用したときの吸収線量率分布を図 16 ~ 17 に示した。この場合、照射は第 3 プタノール媒体中で行った。線源中心における半径方向の減衰を、図 18 に計算値と比較して表わした。おおよそではあるが、吸収線量率は線源量に比例している。1 2 本の場合の実測を除けば、いずれも同様な減衰のし方を見せていく。なお、実測値と計算値とのずれの原因は明かでない。

### 4.3 平均吸収線量率

平均吸収線量率の算出は、同一円周上で吸収線量率に分布の無いことが前提条件となる。実際の測定で、最も分布が生じやすいと思われる原因是、線源量の少ない場合である。そこで、線源量 4 本のときの同一円周上の線量率分布を図 19 に示した。線源に一番近い距離にある内筒壁面 ( $r = 48 \text{ mm}$ ) では多少のバラツキが見られる。しかしながら全体として、この程度の分

布は無視してもさしつかえないと考えられる。

反応器内に搔取羽根がある場合の平均吸収線量率は、次のようにして求めることができる。まず、搔取羽根によって影響を受ける部分の体積が、反応器内容積に占める割合を  $x$  とする。さらに、その部分の吸収線量率と搔取羽根が無い場合の測定値との比  $\alpha$  を求める。この  $\alpha$  は、測定位位置に関係なく一定であると仮定すれば、(4)式が成り立つ。

$$\begin{aligned} I_{av} &= I_{av} \{ \alpha \cdot x + (1-x) \} \\ &= I_{av} \{ 1 + (\alpha-1)x \} \end{aligned} \quad (4)$$

ここで  $I_{av}$  は搔取羽根がある場合の平均吸収線量率、 $I_{av}$  は無いときの平均吸収線量率である。

ところで、搔取羽根を取付けた状態での吸収線量率分布の測定結果は図 20 に示した。このグラフから、 $\alpha = 0.7$  が得られる。また、 $x$  は約 0.3 であるので(4)式は次のようになる。

$$I_{av} = 0.9 I_{av} \quad (5)$$

以上を基にして、各測定条件における平均吸収線量率を計算し、その結果を表 2 にまとめた。

#### 4.4 中心線源型反応器の特徴

反応器の Z 軸に沿った断面での吸収線量率分布を見ると、反応器内の媒体や線源の量などには関係なく、全ての場合について共通している現象を 2 つあげることができる。その 1 つとして、線源の両端の位置で、内筒壁に近い部分での急激な吸収線量率の減衰があり、その 2 は反応器の外側に線源を配置した場合に比べて、半径方向の分布の巾が大きなことである。いずれにしても吸収線量率に分布があることによって、その反応器で生成したポリマーの物性にも分布が生ずると考えられる。線源を長くすることにより、線源の両端での急激な線量率の減衰は解決できる。しかしながら後者の分布は、中心線源型である以上やむをえないと言える。

中心線源型反応器の最大の長所はエネルギー吸収効率の高いことにあり、外側から照射する型の反応器に比べると、1 枝も大きい。表 3 に、外側に線源がある場合の吸収効率と比較して示した<sup>3)</sup>。

#### 4.5 PMMA による線量測定上の問題点

PMMA 線量計で吸収線量と吸光度との間に比例関係が成り立つののは、吸収線量が 0.5 ~ 3 Mrad の範囲である。したがって、中心線源型反応器のように線量率分布の巾が大きな場合には、線量率の高い部分と低い部分を分けて照射し、すべての測定点で吸収線量が前述の範囲に入るよう考慮することが必要である。今回の測定では、低線量率の部分における PMMA の吸収線量が充分でなく、測定精度を下げる原因となつた。また、平均吸収線量率を求める際に重要なことは、線量率の変化の急激な場所では、多くの測定値を得ることである。そのためには、あらかじめ分布を予測しなければならない。本報告においては、測定点の不足をカバーするため、数箇所にわたって外挿から求めた値を使用している。

## 5. 結論

中心部に線源を挿入するエチレン重合装置の中心線源型溝壁反応器(50ℓ)の内部における吸収線量率をPMMA線量計で測定した結果、次のことが明らかになった。

- 1) 反応器内の線量率分布はZ軸方向、半径方向とともにかなりの減衰が見られる。外筒壁面および、反応器上下端では、それぞれ最高線量率の1/3、1/10の値になる。
- 2) 反応器内の媒体として、水と第3ブタノール水溶液を比較すると、吸収線量率分布、平均吸収線量率ともほとんど差がない。
- 3) 撃取羽根の存在は、線量率分布に若干の影響を与える。撃取羽根のある場合の平均吸収線量率は、無い時の平均吸収線量率に0.9を乗じた値となる。
- 4) 中心線源型の反応器のエネルギー吸収効率は、外側から照射する型の反応器のそれに比べて非常に良い。第3ブタノール水溶液の存在下では、約3%である。

## 謝辞

本実験を進めるにあたり、電子計算機のプログラムを作製していただいた渡辺光崇氏に感謝致します。

## 参考文献

- 1) 田中、三友、大島; J A E R I - memo 4121 (1970)
- 2) D.L.Broder, Yu.R.A.A.Kaurin; Atomnaya Energiya 12, 30 (1962)
- 3) Rockwell.T.; Reactor Shielding Design Manual (1956)
- 4) 大島、橋; 第8回アイソトープ会議

表1 線量計算コード

PAGE 0001 (FTN4--RELEASE 24177B--JULY, 1971)

```

0001  FTN4+L
0002      PROGRAM CTX01
0003  C      RADIATION INTENSITY DISTRIBUTION IN PICH REACTOR
0004  C
0005  DIMENSION RII(3),Z(3),X(11),Y(12),RAD(11)
0006  C
0007  UT=0.0533
0008  US=0.0536
0009  UI=0.0634
0010  RT=7.91
0011  RS=8.7
0012  T=2.1
0013  DI=0.866
0014  DT=0.92
0015  AT=8.05
0016  AL1I=0.0816
0017  AL12=-0.0313
0018  AI=10.15
0019  AL1I=0.086
0020  AL12=-0.051
0021  RG=6.8
0022  UE=0.0298
0023  RAD0=1.698138E+05*2.5*UE
0024  C
0025  READ(5,*)(RII(I),I=1,3)
0026  READ(5,*)(Z(I),I=1,3)
0027  READ(5,*)(X(I),I=1,11)
0028  READ(5,*)(Y(I),I=1,12)
0029  C
0030  DO 10 L=1,3
0031  RI=RII(L)
0032  DO 12 K=1,3
0033  DIAS=.5
0034  WRITE(6,100)
100 FORMAT(1H1//10X,"*** RADIATION INTENSITY DISTRIBUTION IN PICH REA
0035  ICTOR ***/")
0036  IF(L-2150,52,54
0037  50 WRITE(6,102)
0038  102 FORMAT(15X,"ABSORBED TO AIR (DENSITY = 0.00121")
0040  GO TO 56
0041  52 WRITE(6,104)
0042  104 FORMAT(15X,"ABSORBED TO WATER (DENSITY = 1.00")"
0043  GO TO 56
0044  54 WRITE(6,106)
0045  106 FORMAT(15X,"ABSORBED TO TERT-BUTANOL (DENSITY = 0.810")"
0046  56 KZ=Z(K)
0047  WRITE(6,108)KZ,KZ
0048  108 FORMAT(30X,"SOURCE ",12," ",I2/)
0049  WRITE(6,110)(X(I),I=1,11)
0050  110 FORMAT(5X,11F9.1)
0051  DO 14 J=1,12
0052  DO 16 I=1,11
0053  C      INTEGRATION

```

PAGE 0002 CTX01 (FTN4--RELEASE 24177B--JULY, 1971)

```

0054  SFUN=0.0
0055  DLTH=0.6
0056  DO 18 N=1,99
0057  C
0058  S=-30.0+DLTH*FLOAT(N)
0059  R2J=(Y(J)-S)*(Y(J)-S)+X(I)*X(I)
0060  R=R2J**0.5
0061  C      BUILT UP FACTOR
0062  Y1I=(X(I))-RG)+UI*RI+T*UT*RT+DIAS*US*RS)+R/X(I)
0063  B1I=AI*EXP(AL1I*Y1I)+(1.0-AI)*EXP(AL12*Y1I)
0064  Y12=(T*UT*RT+DIAS*US*RS)+R/X(I);
0065  BT=AT*EXP(AL1I*Y12)+(1.0-AT)*EXP(ALT2*Y12)
0066  B12=AT*EXP(AL1I*Y12)+(1.0-AT)*EXP(AL12*Y12)
0067  B=D1*B1I+D1*BT-D1*B12
0068  C
0069  PI=-(T*UT*RT+(X(I))-RG)*UI*RI+DIAS*US*RS)/X(I)
0070  SFUN=SFUN+B*EXP(R*PI)/R2J
0071  18 CONTINUE
0072  S=-30.0
0073  R2J=(Y(J)-S)*(Y(J)-S)+X(I)*X(I)
0074  R=R2J**0.5
0075  SFUN=SFUN+B*EXP(R*PI)/R2J/2.0
0076  S=30.0
0077  R2J=(Y(J)-S)*(Y(J)-S)+X(I)*X(I)
0078  R=R2J**0.5
0079  SFUN=SFUN+B*EXP(R*PI)/R2J/2.0
0080  RAD(I)=RAD0*SFUN*DLTH/30.0*Z(K)*995.0*1.0E-04
0081  16 CONTINUE
0082  WRITE(6,200)Y(J),(RAD(M),M=1,11)
0083  200 FORMAT(1X,F4.1,11F9.3)
0084  14 CONTINUE
0085  12 CONTINUE
0086  10 CONTINUE
0087  C
0088  WRITE(6,202)
0089  202 FORMAT(1H1,"OWARIMASITA.""/OTSUKARESAN")
0090  STOP
0091  END

```

\*\* NO ERRORS \*

表2 中心線源型反応器内の平均吸収線量率

反応器内媒体	キュリ一数	平均吸収線量率
第3ブタノール 7.9 wt%水溶液	3,840 Ci	$0.45 \times 10^5$ rad/hr ( $0.5 \times 10^5$ )
第3ブタノール 7.9 wt%水溶液	7,680	$1.0 \times 10^5$ ( $1.1 \times 10^5$ )
第3ブタノール 8.7 wt%水溶液	11,760	$1.7 \times 10^5$ ( $1.9 \times 10^5$ )
水	11,760	$1.5 \times 10^5$ ( $1.7 \times 10^5$ )
空 気	11,760	$1.9 \times 10^5$ ( $2.1 \times 10^5$ )

注) ( )内の値は擡取羽根の無い場合

表3 線源の配置の相異によるエネルギー吸収効率の比較

反応器の種類	反応器内媒体	キュリ一数	エネルギー吸収効率
外側に線源のある反応器	エチレン	9,000 Ci	0.22%
中心線源型反応器	第3ブタノール	11,760	2.95
	水	11,760	3.25

注) 線源は、いずれも 00-60 棒状線源

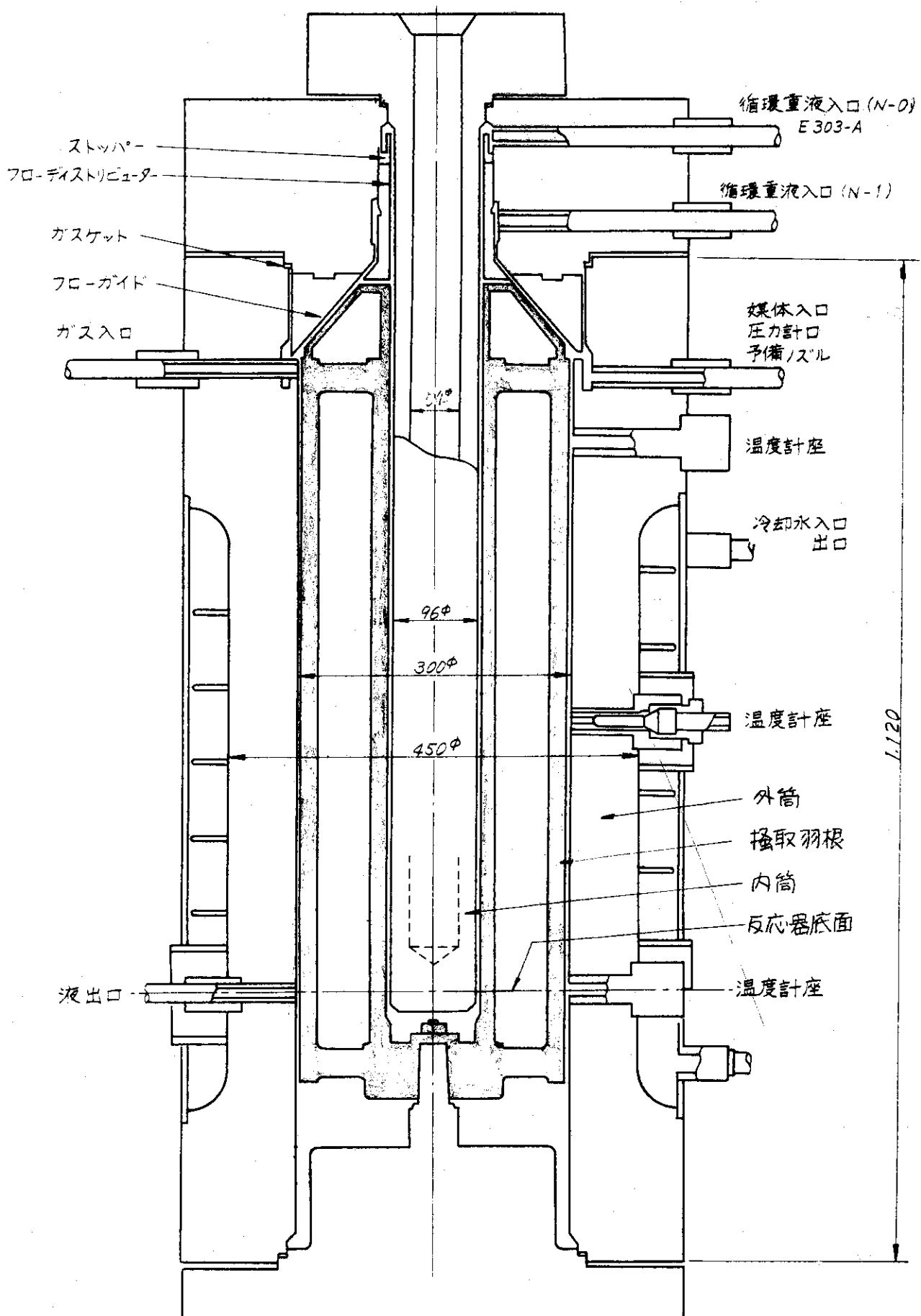


図1 中心線源型濡壁反応器の構造

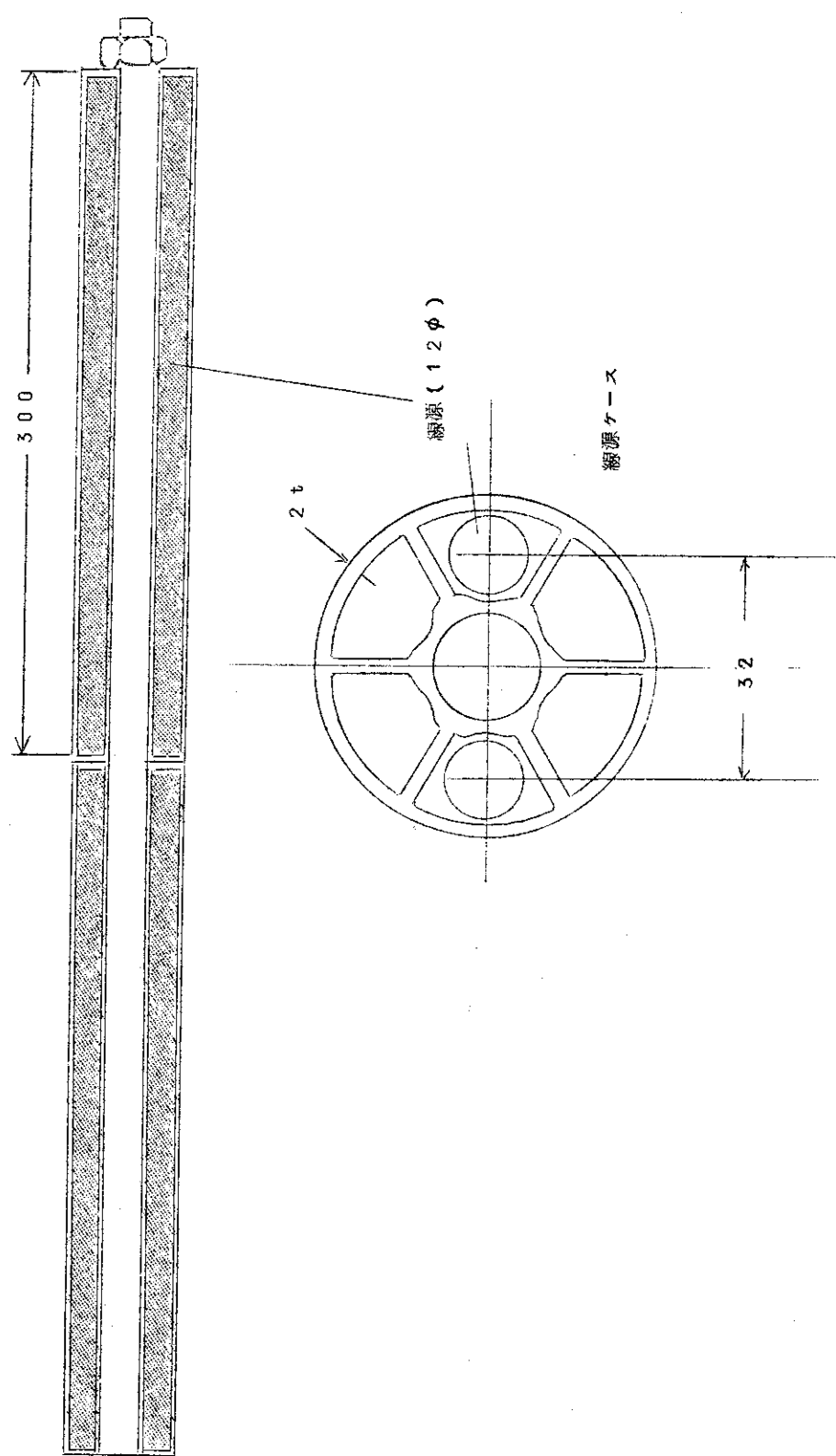


図 2 線源と線源ケースの位置関係

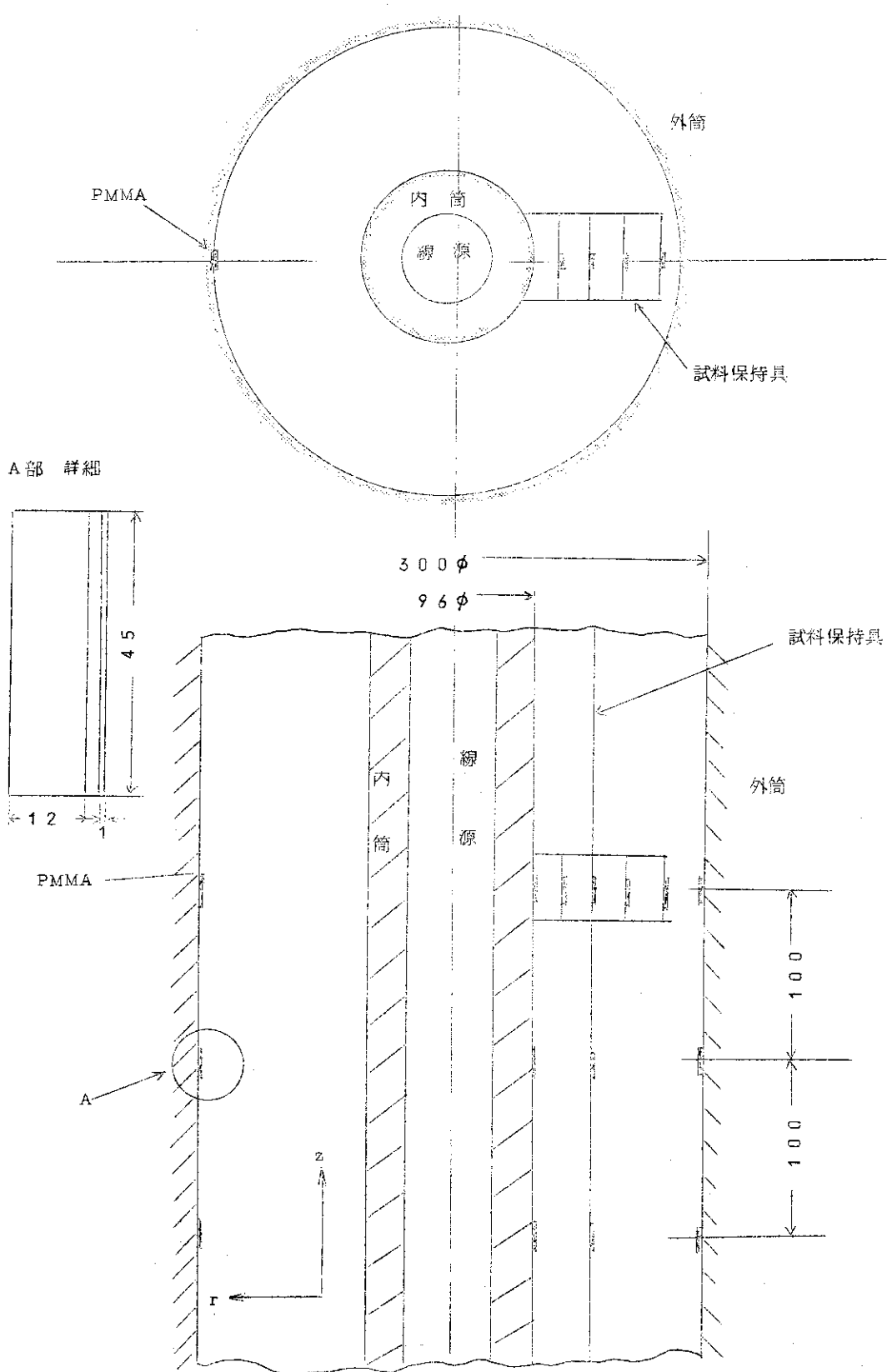


図3 反応器、線源、線量計の位置関係

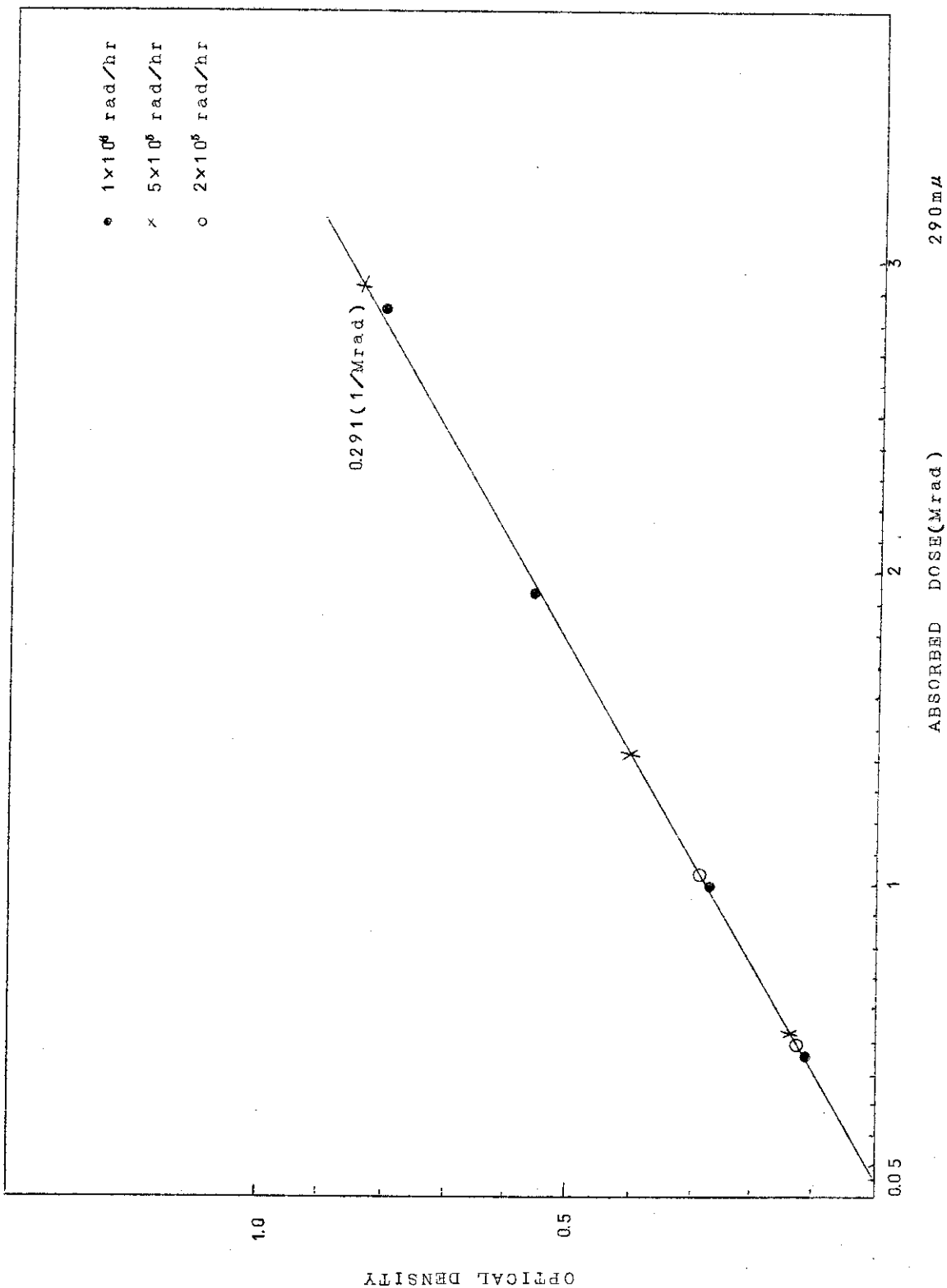


図4 吸收線量と吸光度の関係

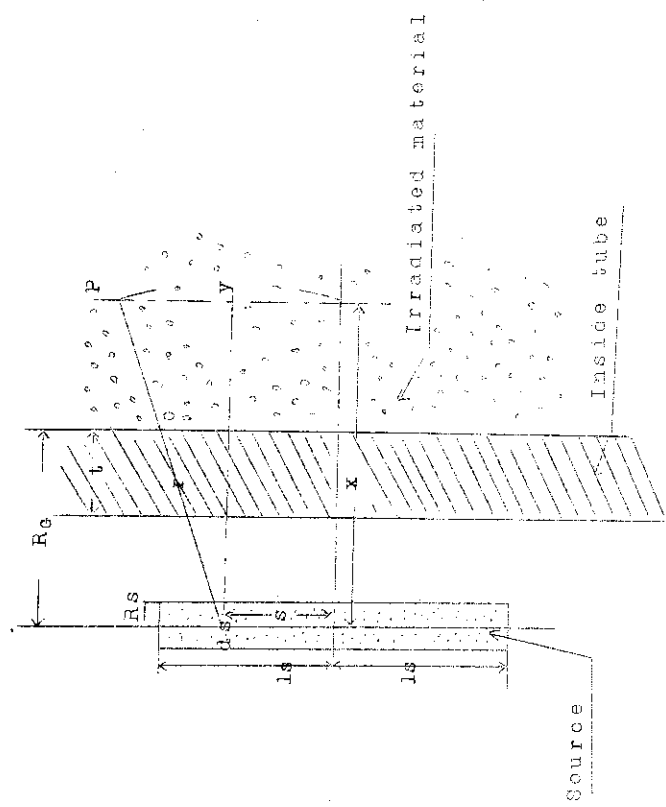
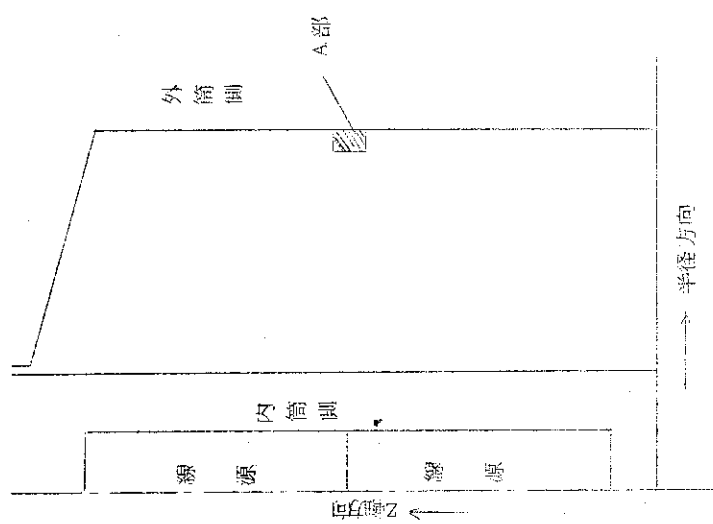
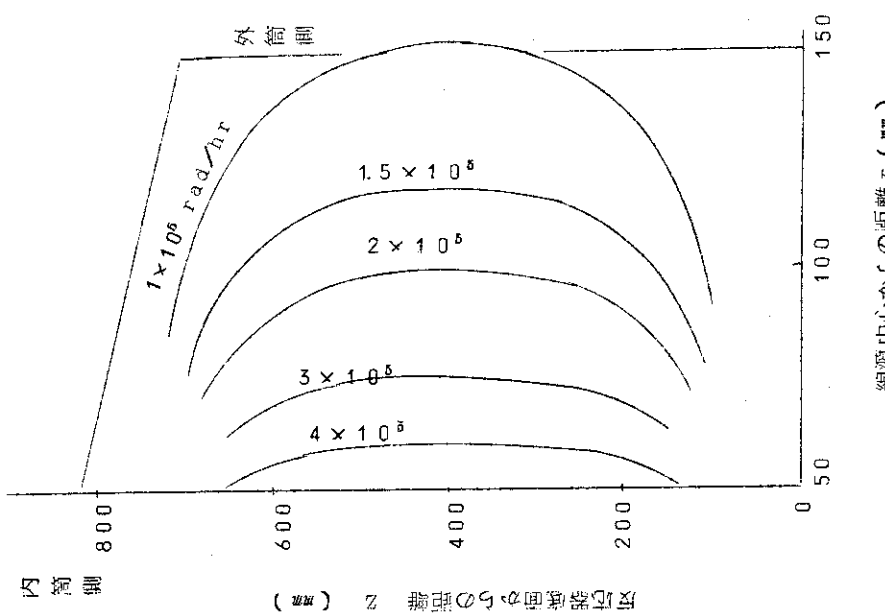
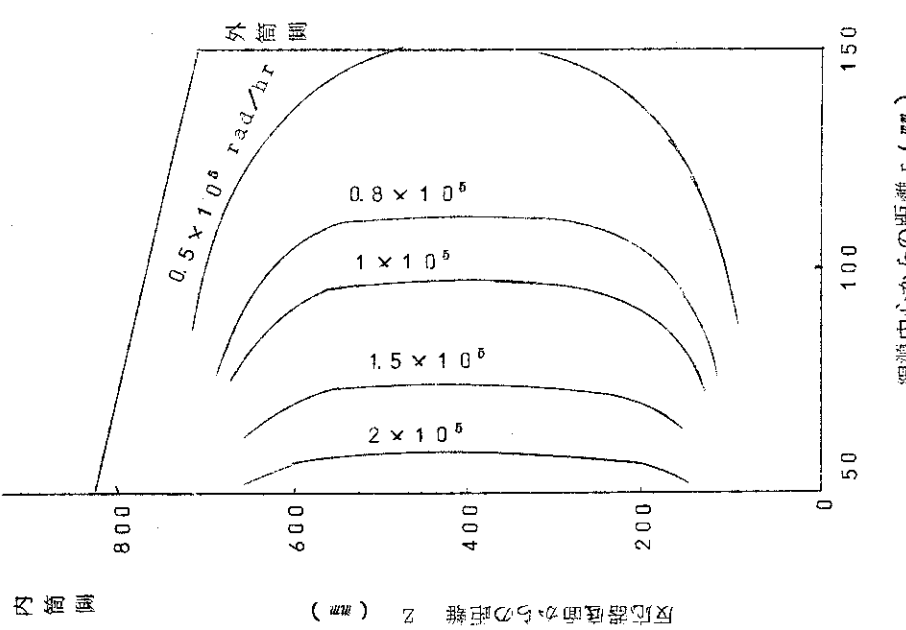


図 6 線源と測定点の位置の関係



図 5 パイナップル・リソダの説明



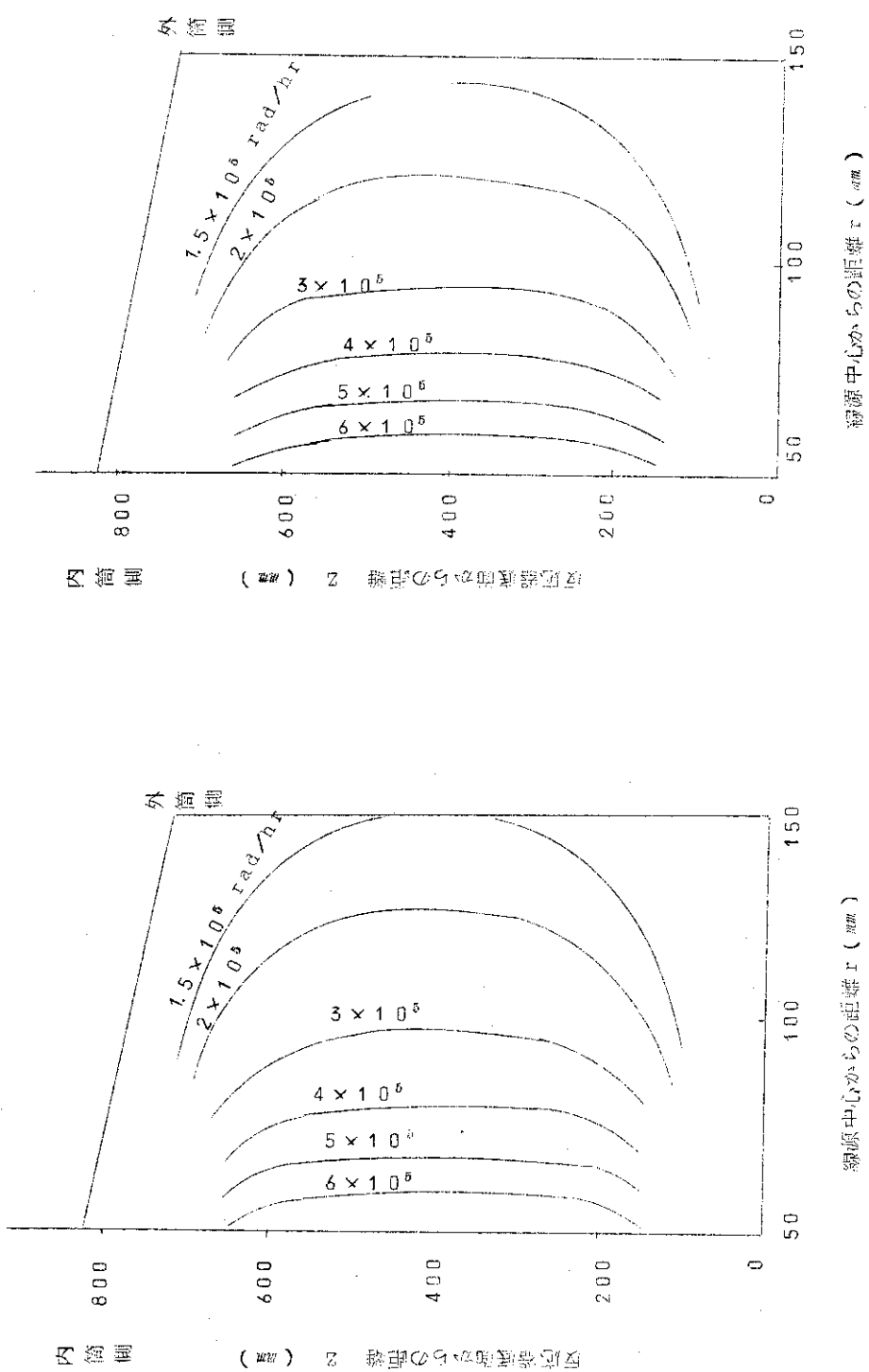


図 9

理論的に求めた吸収線量分布  
媒体：第3ブタノール水溶液 ( $\rho=0.81$ ) ,  
キュリ一数；995 ci×12本

図 10

理論的に求めた吸収線量分布  
媒体：水 ( $\rho=1.0$ ) , キュリ一数；995 ci×12本

源中心からの距離  $r$  (mm)

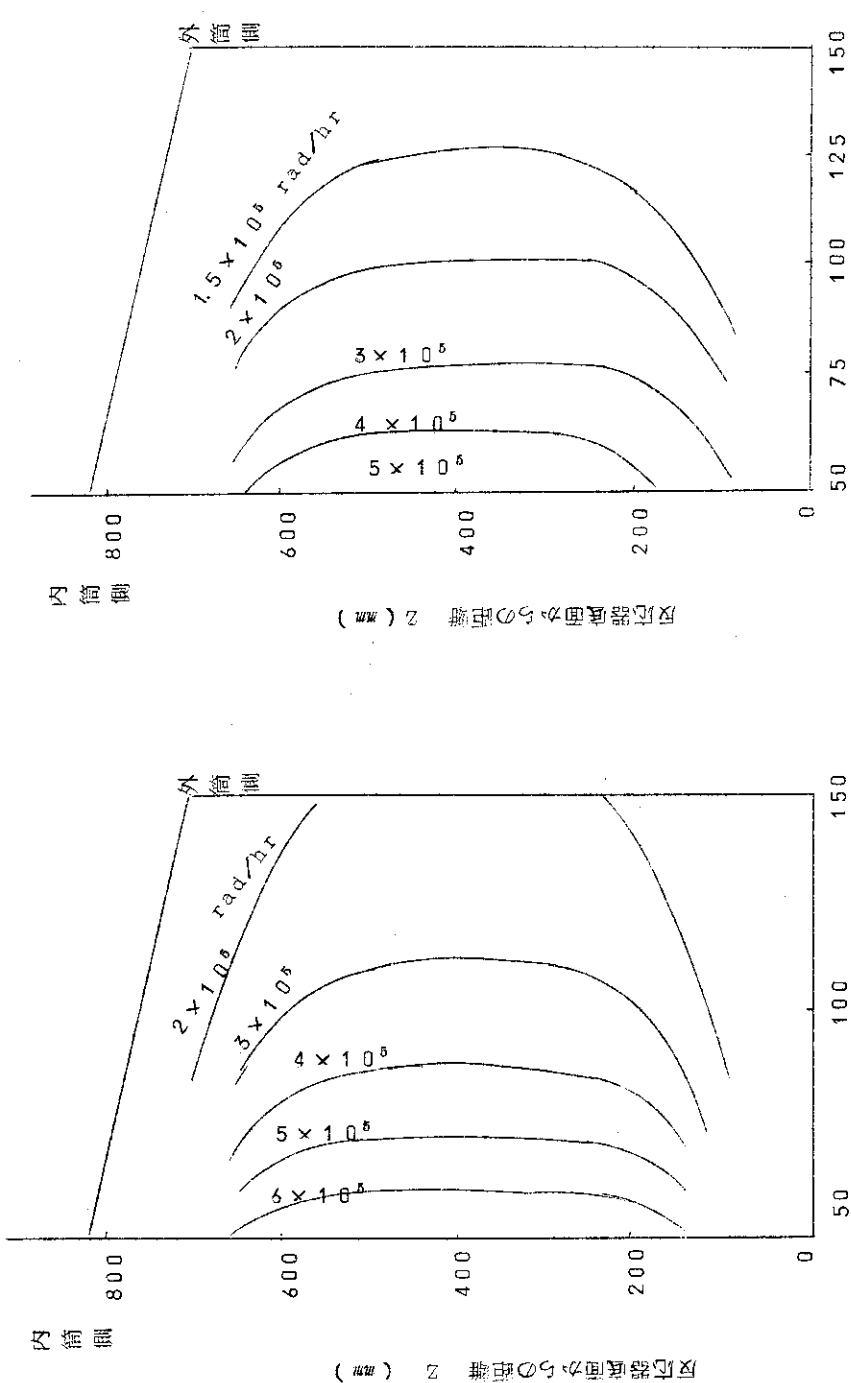


図 11 理論的に求めた吸収線密度分布  
媒体：空気 ( $\rho = 0.0$ ) , キュリ一数：  
 $9.95 \times 10^{-12}$  本



図 12 反応器内部を水で満たした場合の吸収線密度分布  
キュリ一数： $9.80 \times 10^{-12}$  本

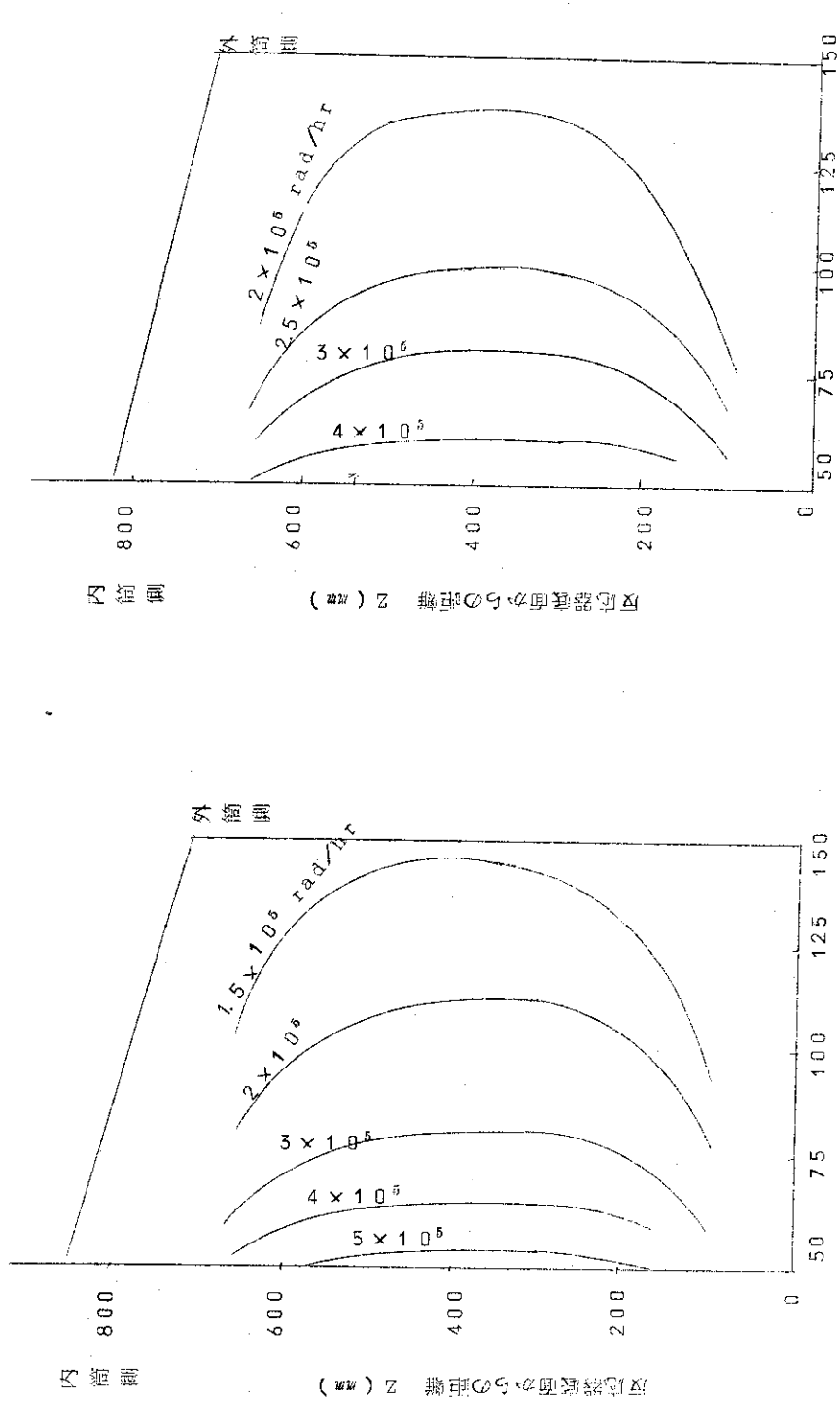


図 13 反応器内部を第 3 ブタノール 8.7 wt% 水溶液 ( $\rho = 0.81$ )  
で満たした場合の吸収線量率分布

キュリ一数; 980 ci×12本

縦断中心から内部の距離  $r$  ( $\text{mm}$ )  
反応器内部を空気の場合の吸収線量率分布

キュリ一数; 980 ci×12本

図 14 反応器内部が空気の場合の吸収線量率分布

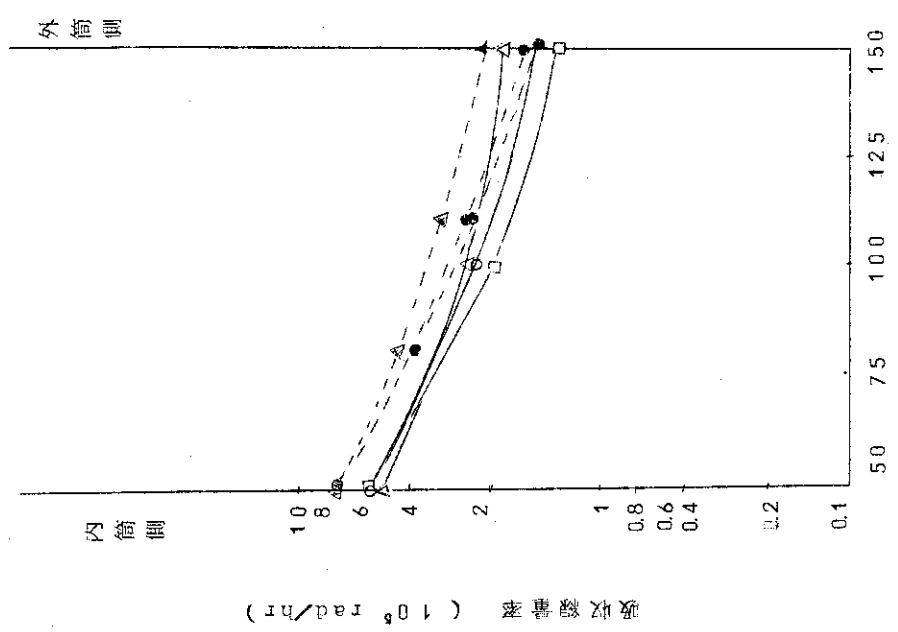


図 15 各媒体中における吸収線量率分布の比較  
反応器底面からの高さ 400 mm 第3ブタノール 8.7 wt%  
水溶液；○(実測) ◎(計算) 水；□(実測) □(計算)  
空気：△(実測) ▲(計算)

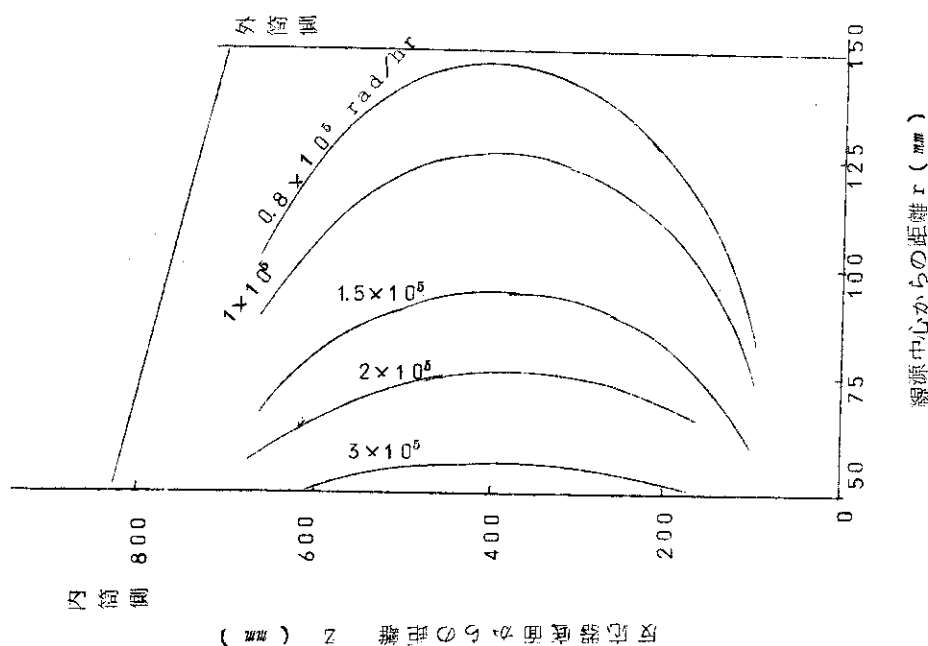


図 16 反応器内部を第3ブタノール 7.9 wt%  
水溶液 ( $\rho = 0.83$ ) で満たした場合の  
吸収線量率分布  
 $\chi$  リー数；960 ci  $\times 8$  本

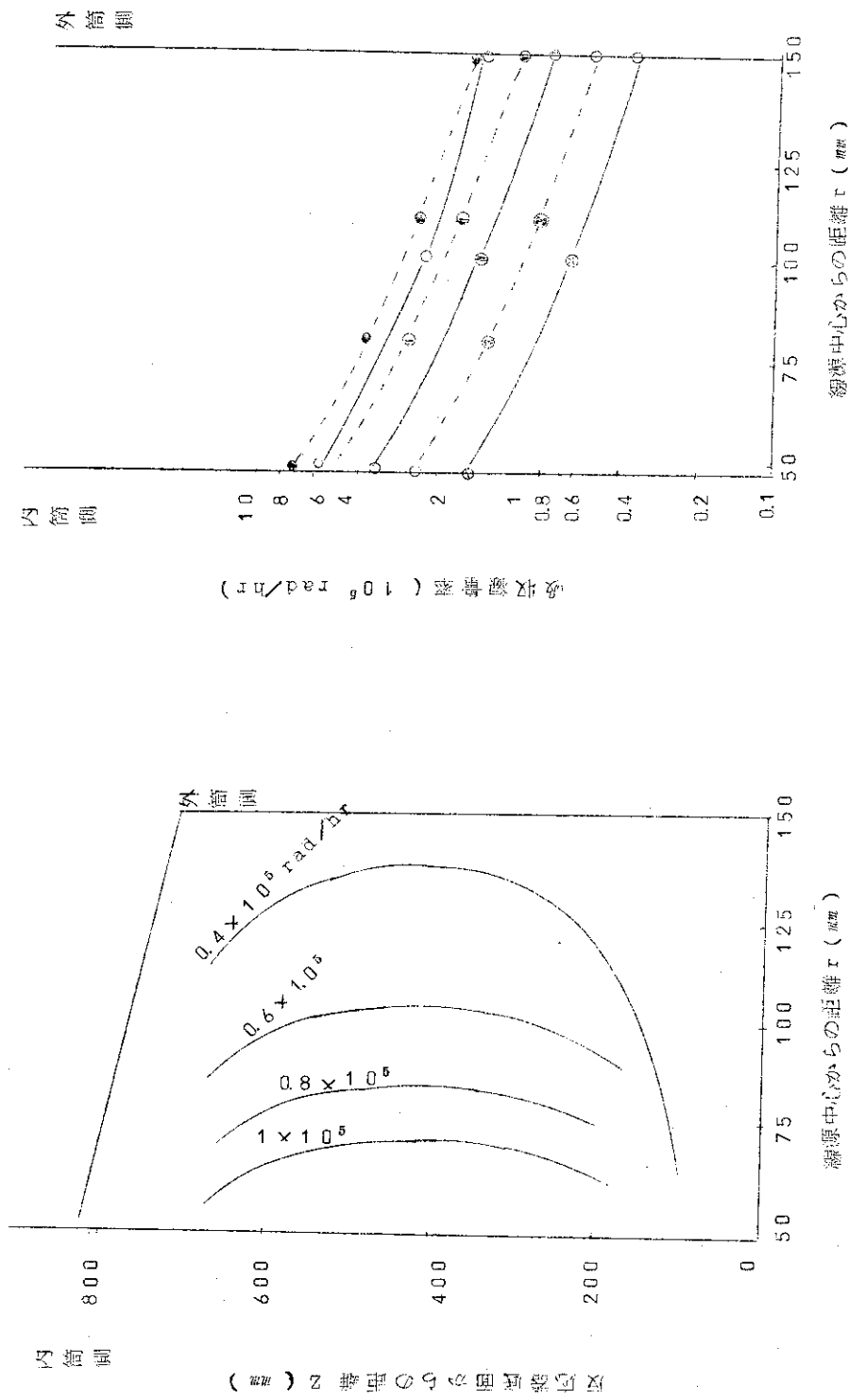
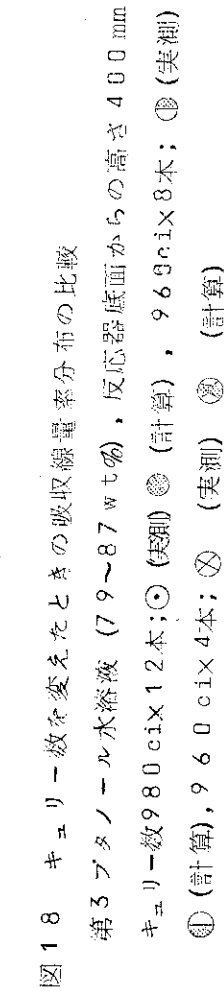


図 17 反応器内部を第3ブタノール7.9wt%水溶液 ( $\rho = 0.83$ )  
で満たした場合の吸収線量率分布  
 $\chi$  キュリーナー数;  $960 \text{ cm} \times 4$  本

源中心からの距離  $r$  (mm)



源中心からの距離  $r$  (mm)

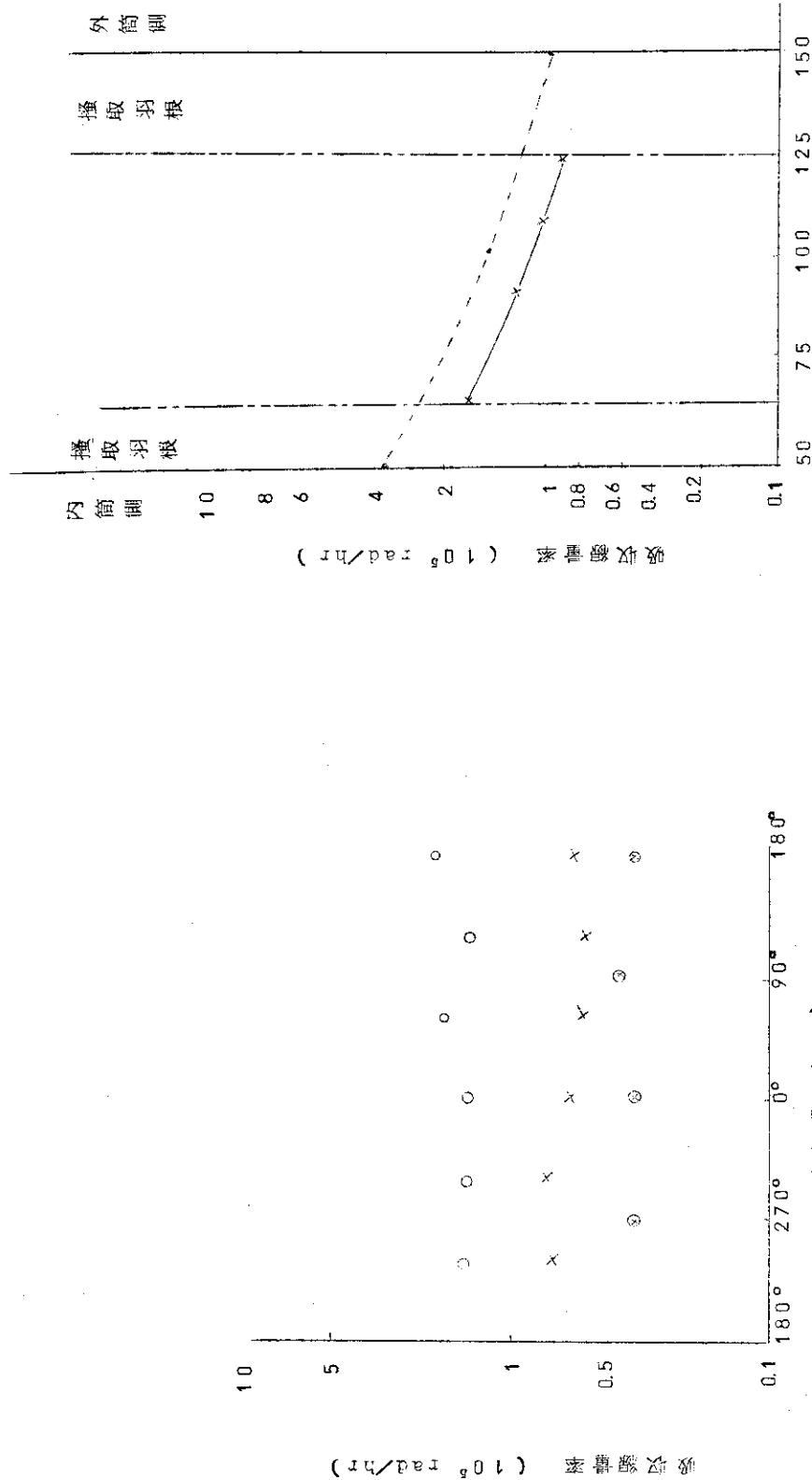


図 19 同一円周上における吸収線量率分布  
第3ブタノール79wt%水溶液 ( $\rho = 0.83$ ) , キュリ一級960ci×4本  
反応器底面からの高さ440mm,  $r = 48\text{ mm}$ ; ○,  $r = 105\text{ mm}$ ; ×,  
 $r = 150\text{ mm}$ ; ◎

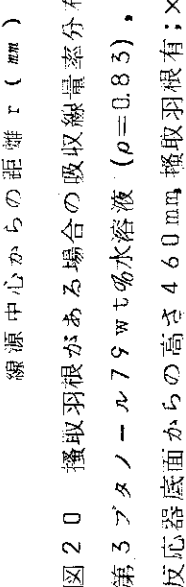


図 20 撷取羽根がある場合の吸収線量率分布  
第3ブタノール79wt%水溶液 ( $\rho = 0.83$ ) , キュリ一級960ci×8本  
反応器底面からの高さ460mm, 撷取羽根有; ×, 無; •